# Lichttechnischer Prüfbefund

**Familie**
## Lunis R LED



## Bestell-Nr.: 51DC112MD2400A
## EAN: 4069025359049

| | |
|---|---|
| **Ausführung** | Downlight für Deckenanbau oder abgehängte Montage |
| **Bestückung** | LED 3000 K \| CRI ≥ 80 |
| **Betriebsgerät** | EVG-Multilumen |
| **Bemessungswerte** | Nettolichtstrom = 3950 lm<br>Systemleistung = 25.3 W<br>Lichtausbeute = 156.1 lm/W |

**LP-Nummer**
**59721_5**

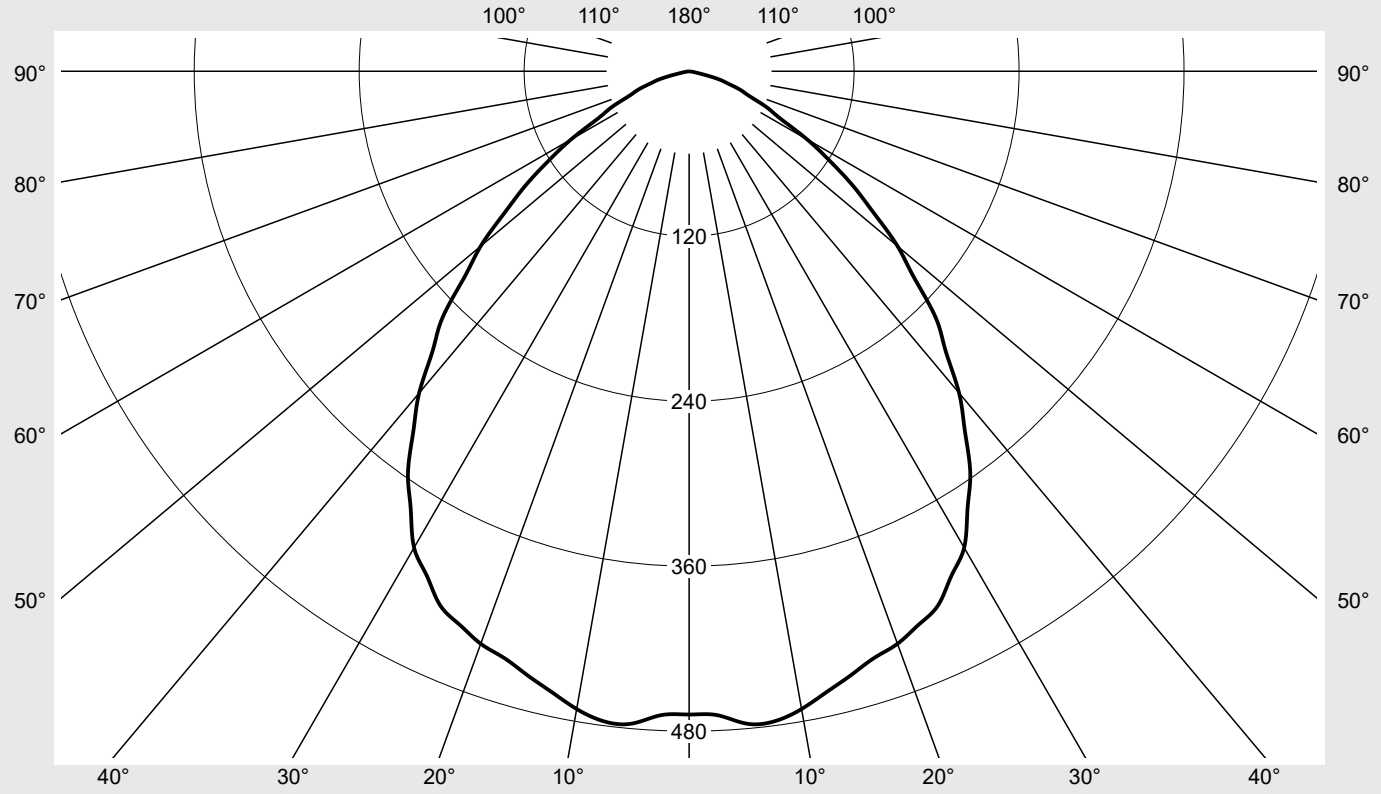
**Seriendokumentation**
**05.05.2025**

siteco

## Lichtstärke in cd/klm

C180-0

**Imax: 477 cd/klm**




### Klassifizierungen

| | |
|---|---|
| DIN 5040 | A 5 0 |
| CIE | N1=62 N2=91 N3=99<br>N4=100 N5=100 |

### Leuchtenbetriebswirkungsgrade

| | |
|---|---|
| ηLB | 100,0% |
| $\phi_u$ | 100,0% |
| $\phi_o$ | 0,0% |

### Messbedingungen

DIN EN 13032 und DIN 5032

## Lichttechnischer Prüfbefund

| Familie | Bestell-Nr.: 51DC112MD2400A | LP-Nummer |
|---|---|---|
| **Lunis R LED** | **EAN: 4069025359049** | **59721_5** |

siteco

### Wertetabelle Lichtstärkemessung

**Maximale Lichtstärke**

| C-Ebenen | 0° | Phi-Zone | Summe Phi-Zone |
|---|---|---|---|
| γ | Lichtstärke in cd/klm | Lichtstrom in lm/klm | |
| **0,0°** | 467.9 | **0.7** | **0.7** |
| **2,5°** | 468.8 | **5.6** | **6.3** |
| **5,0°** | 476.3 | **11.4** | **17.7** |
| **7,5°** | 476.9 | **17.1** | **34.7** |
| **10,0°** | 471.1 | **22.4** | **57.2** |
| **12,5°** | 462.5 | **27.4** | **84.6** |
| **15,0°** | 454.8 | **32.3** | **116.9** |
| **17,5°** | 447.5 | **36.9** | **153.8** |
| **20,0°** | 443.2 | **41.6** | **195.3** |
| **22,5°** | 435.9 | **45.7** | **241.1** |
| **25,0°** | 428.6 | **49.7** | **290.7** |
| **27,5°** | 413.5 | **52.3** | **343.0** |
| **30,0°** | 400.2 | **54.8** | **397.9** |
| **32,5°** | 377.0 | **55.5** | **453.4** |
| **35,0°** | 356.6 | **56.1** | **509.5** |
| **37,5°** | 329.5 | **55.0** | **564.5** |
| **40,0°** | 305.5 | **53.8** | **618.3** |
| **42,5°** | 276.3 | **51.2** | **669.5** |
| **45,0°** | 253.9 | **49.2** | **718.7** |
| **47,5°** | 221.7 | **44.8** | **763.5** |
| **50,0°** | 197.9 | **41.6** | **805.1** |
| **52,5°** | 169.3 | **36.8** | **841.9** |
| **55,0°** | 145.9 | **32.8** | **874.6** |
| **57,5°** | 121.3 | **28.1** | **902.7** |
| **60,0°** | 99.1 | **23.5** | **926.2** |
| **62,5°** | 75.2 | **18.3** | **944.5** |
| **65,0°** | 62.7 | **15.6** | **960.1** |
| **67,5°** | 47.9 | **12.1** | **972.2** |
| **70,0°** | 39.8 | **10.2** | **982.5** |
| **72,5°** | 29.5 | **7.7** | **990.2** |
| **75,0°** | 21.8 | **5.8** | **996.0** |
| **77,5°** | 9.4 | **2.5** | **998.5** |
| **80,0°** | 3.7 | **1.0** | **999.5** |
| **82,5°** | 0.8 | **0.2** | **999.7** |
| **85,0°** | 0.7 | **0.2** | **999.9** |
| **87,5°** | 0.4 | **0.1** | **1000.0** |
| **90,0°** | 0.0 | **0.0** | **1000.0** |

## Lichttechnischer Prüfbefund

| Familie | Bestell-Nr.: 51DC112MD2400A | LP-Nummer |
|---|---|---|
| **Lunis R LED** | **EAN: 4069025359049** | **59721_5** |

siteco

### UGR-Tabelle

Standardraum

| | | | | | | | | | | | |
|---|---|---|---|---|---|---|---|---|---|---|---|
| Reflexionsgrad Decke | | 0,7 | 0,7 | 0,5 | 0,5 | 0,3 | 0,7 | 0,7 | 0,5 | 0,5 | 0,3 |
| Reflexionsgrad Wände | | 0,5 | 0,3 | 0,5 | 0,3 | 0,3 | 0,5 | 0,3 | 0,5 | 0,3 | 0,3 |
| Reflexionsgrad Boden | | 0,2 | 0,2 | 0,2 | 0,2 | 0,2 | 0,2 | 0,2 | 0,2 | 0,2 | 0,2 |
| Raumabmessungen | | Blickrichtung quer zur Leuchte (C0) | | | | | Blickrichtung längs zur Leuchte (C90) | | | | |
| x | y | | | | | | | | | | |
| 2H | 2H | 21,0 | 22,5 | 21,3 | 22,8 | 23,1 | 21,0 | 22,5 | 21,3 | 22,8 | 23,1 |
| | 3H | 21,5 | 22,8 | 21,8 | 23,1 | 23,5 | 21,5 | 22,8 | 21,8 | 23,1 | 23,5 |
| | 4H | 21,6 | 22,8 | 22,0 | 23,2 | 23,6 | 21,6 | 22,8 | 22,0 | 23,2 | 23,6 |
| | 6H | 21,6 | 22,7 | 22,0 | 23,1 | 23,5 | 21,6 | 22,7 | 22,0 | 23,1 | 23,5 |
| | 8H | 21,6 | 22,6 | 22,0 | 23,0 | 23,4 | 21,6 | 22,6 | 22,0 | 23,0 | 23,4 |
| | 12H | 21,6 | 22,5 | 22,0 | 22,9 | 23,4 | 21,6 | 22,5 | 22,0 | 22,9 | 23,4 |
| 4H | 2H | 21,3 | 22,5 | 21,7 | 22,9 | 23,3 | 21,3 | 22,5 | 21,7 | 22,9 | 23,3 |
| | 3H | 21,9 | 22,9 | 22,3 | 23,3 | 23,7 | 21,9 | 22,9 | 22,3 | 23,3 | 23,7 |
| | 4H | 22,0 | 23,0 | 22,5 | 23,4 | 23,8 | 22,0 | 23,0 | 22,5 | 23,4 | 23,8 |
| | 6H | 22,0 | 22,8 | 22,5 | 23,3 | 23,7 | 22,0 | 22,8 | 22,5 | 23,3 | 23,7 |
| | 8H | 22,0 | 22,7 | 22,5 | 23,2 | 23,7 | 22,0 | 22,7 | 22,5 | 23,2 | 23,7 |
| | 12H | 22,0 | 22,6 | 22,5 | 23,1 | 23,6 | 22,0 | 22,6 | 22,5 | 23,1 | 23,6 |
| 8H | 4H | 22,1 | 22,8 | 22,5 | 23,2 | 23,7 | 22,1 | 22,8 | 22,5 | 23,2 | 23,7 |
| | 6H | 22,0 | 22,6 | 22,5 | 23,1 | 23,6 | 22,0 | 22,6 | 22,5 | 23,1 | 23,6 |
| | 8H | 22,0 | 22,5 | 22,5 | 23,0 | 23,5 | 22,0 | 22,5 | 22,5 | 23,0 | 23,5 |
| | 12H | 22,0 | 22,4 | 22,5 | 22,9 | 23,5 | 22,0 | 22,4 | 22,5 | 22,9 | 23,5 |
| 12H | 4H | 22,1 | 22,7 | 22,5 | 23,1 | 23,6 | 22,1 | 22,7 | 22,5 | 23,1 | 23,6 |
| | 6H | 22,0 | 22,5 | 22,5 | 23,0 | 23,5 | 22,0 | 22,5 | 22,5 | 23,0 | 23,5 |
| | 8H | 22,0 | 22,4 | 22,5 | 22,9 | 23,5 | 22,0 | 22,4 | 22,5 | 22,9 | 23,5 |

### Leuchtdichten-Tabelle

Max. für $\gamma >= 65°$

Lichttechnische Abmessungen in mm: D = 308

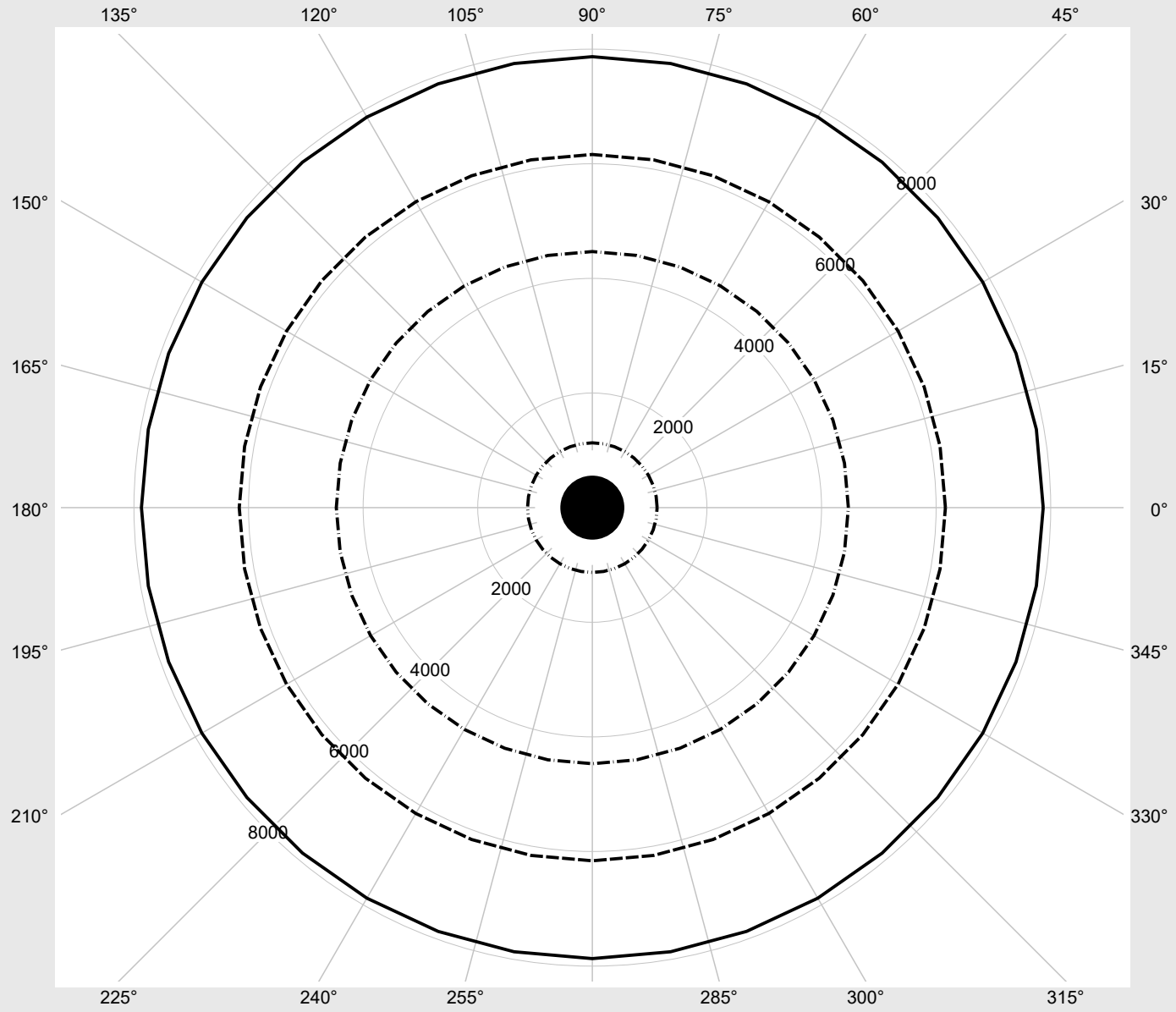
| C-Ebenen | 0° |
|---|---|
| $\gamma$ | Leuchtdichte in cd/m² |
| 45,0° | 19034.1 |
| 50,0° | 16325.0 |
| 55,0° | 13487.8 |
| 60,0° | 10511.3 |
| 65,0° | 7869.0 |
| 70,0° | 6162.3 |
| 75,0° | 4468.3 |
| 80,0° | 1130.9 |
| 85,0° | 409.4 |

## Lichttechnischer Prüfbefund

| Familie | Bestell-Nr.: 51DC112MD2400A | LP-Nummer |
|---|---|---|
| **Lunis R LED** | **EAN: 4069025359049** | **59721_5** |

**Leuchtdichten in cd/m²**

γ 65° γ 70° γ 75° γ 80° γ 85°



## Lichttechnischer Prüfbefund

| Familie | Bestell-Nr.: 51DC112MD2400A | LP-Nummer |
|---|---|---|
| **Lunis R LED** | **EAN: 4069025359049** | **59721_5** |

siteco

### Multilumen-Tabelle

**Umgebungstemperatur: 25°C**

| DIP-Stufe | Schalterstellung 1 | 2 | 3 | Lichtstrom [lm] | Systemleistung [W] |
|---|---|---|---|---|---|
| 7 | ON | ON | ON | 3950 | 25.3 |
| 6 | OFF | ON | ON | 3680 | 23.5 |
| 5 | ON | OFF | ON | 3410 | 21.7 |
| 4 | OFF | OFF | ON | 3140 | 19.9 |
| 3 | ON | ON | OFF | 2860 | 18.1 |
| 2 | OFF | ON | OFF | 2580 | 16.5 |
| 1 | ON | OFF | OFF | 2300 | 14.9 |
| 0 | OFF | OFF | OFF | 2020 | 13.2 |